

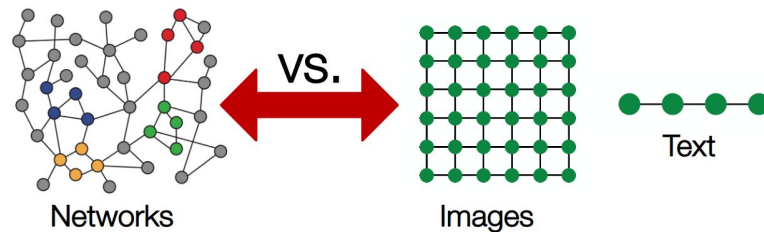
# Лекция 7. Нейронные сети для анализа графов

Дробышевский Михаил  
ИСП РАН  
11 ноября 2020

# Графы и задачи на них

Во многих областях данные имеют графовую структуру:

- социальные: граф дружбы в соцсети, граф научных цитирований;
- техногенные: Интернет, веб, сети дорог, сети авиасообщений;
- в биологии: взаимодействия белков, сложные молекулы.



## Задачи машинного обучения на графах и их приложения

supervised, semi-supervised		unsupervised
node classification	link prediction	community detection
<ul style="list-style-type: none"><li>• является ли аккаунт ботом?</li><li>• предсказание возраста/пола/профессии пользователя в соцсети</li><li>• предсказание функции нового белка на основе его взаимодействий с другими</li><li>• предсказание тематики статьи на основе ее цитирований</li></ul>	<ul style="list-style-type: none"><li>• рекомендация контента в онлайн-платформе</li><li>• предсказание побочных эффектов лекарств</li></ul>	<ul style="list-style-type: none"><li>• поиск пользователей со схожими интересами</li><li>• выявление функциональных групп белков</li></ul>

**Цель:** извлечь из графа признаки в виде, пригодном для алгоритмов машинного обучения

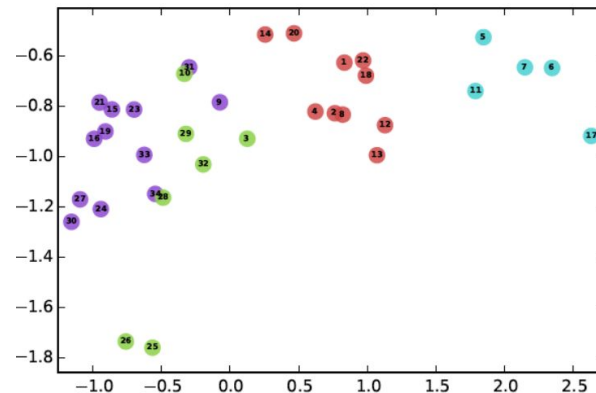
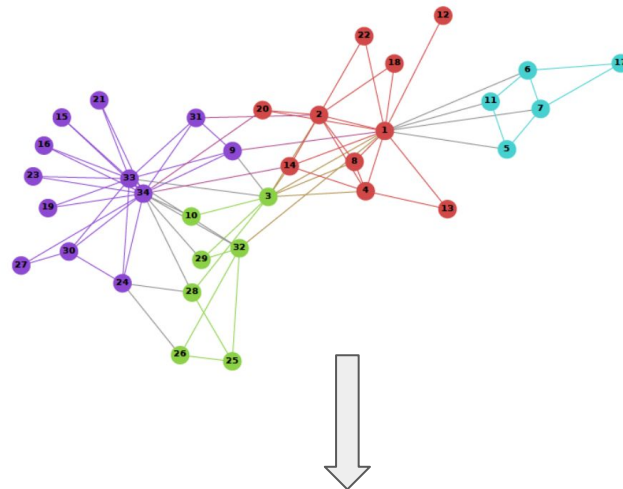
# Подходы к обучению представления графов

**Задача:** найти представление вершин графа в виде векторов (низкоразмерного) пространства, сохраняющее полезную информацию. Обычно, вектора близки в пространстве, если вершины близки в графе.

**вложение графа  $\approx$  обучение представления**  
(graph embedding) (representation learning)

## Подходы:

1. основанные на матричных разложениях;
2. основанные на случайных блужданиях;
3. основанные на максимизации вероятности восстановления ребер;
4. основанные на глубоком обучении;
5. графовые нейронные сети.



# 1. Матричные разложения

Задача представления вершин как задача понижения размерности с сохранением информации

Общая идея: представить граф в виде матрицы и разложить ее

## 1) Locally Linear Embedding (2000)

$$Y_i \approx \sum_j W_{ij} Y_j \quad \varphi(Y) = \sum_i \|Y_i - \sum_j W_{ij} Y_j\|_2^2$$

сводится к нахождению наименьших собственных векторов разреженной матрицы  $(I - W)^T(I - W)$

## 2) Laplacian Eigenmaps (NIPS, 2002)

Идея: представления вершин близки, если вершины связаны

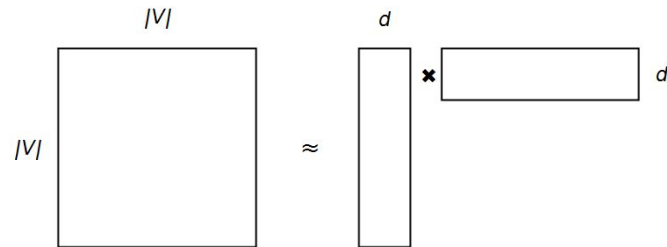
$$\varphi(Y) = \frac{1}{2} \sum_{i,j} \|Y_i - Y_j\|_2^2 W_{ij} = \text{Tr}(Y^T L Y) \quad Y^T D Y = I$$

сводится к нахождению наименьших собственных векторов нормализованного Лапласиана  $L_{norm} = D^{-1/2} L D^{-1/2}$

## 3) Cauchy Graph Embedding (ICML, 2011)

Другая метрика близости  $distance = \frac{|Y_i - Y_j|^2}{|Y_i - Y_j|^2 + \sigma^2}$

$$\varphi(Y) = \frac{1}{2} \sum_{i,j} \frac{W_{ij}}{|Y_i - Y_j|^2 + \sigma^2}$$



Обозначения:

$G(V, E)$  – граф с вершинами  $V$ , ребрами  $E$

$W$  – матрица смежности с весами,

$D$  – диагональная матрица,

$L = D - W$  – Лапласиан графа,

$Y_i$  – векторное представление вершины  $i$   
размерности  $d$

$\varphi(Y)$  – функция потерь

# 1. Матричные разложения

Основная проблема – сохранение только близости 1-го порядка

Определения:

Близость 1-го порядка между вершинами  $i$  и  $j$  = вес ребра  $W_{ij}$

Пусть  $s_i = [s_{i1}, s_{i2}, \dots, s_{iN}]$  – близость  $k$ -го порядка. Тогда близость  $(k+1)$ -го порядка между вершинами  $i$  и  $j$  = мера сходства векторов  $s_i$  и  $s_j$

## 4) GraRep (CIKM, 2015)

Нормированная матрица переходов  $X_{i,j}^k = \log \frac{A_{i,j}^k}{\sum_i A_{i,j}^k} - \log \beta$        $\varphi(Y) = \|X^k - Y_s^k Y_t^{kT}\|_F^2$

Представления для всех  $k$  конкатенируются. Недостаток – сложность алгоритма  $O(|V|^3)$ .

## 5) High-Order Proximity preserved Embedding (HOPE) (KDD, 2016)

Вместо матрицы смежности взять матрицу близости  $S$  (Katz Index, Rooted Page Rank, Common Neighbors, Adamic-Adar score)

$\varphi(Y) = \|S - Y_s Y_t^T\|_F^2$       (ориентированный граф – двойные представления  $Y_s$  и  $Y_t$ ). Сложность алгоритма  $O(|E|d^2)$

Основные недостатки алгоритмов матричного разложения:

сохранение близости только 1-го порядка и/или большая сложность алгоритма

# Отступление про word2vec

Source Text

The quick brown fox jumps over the lazy dog. →

The quick brown fox jumps over the lazy dog. →

The quick brown fox jumps over the lazy dog. →

The quick brown fox jumps over the lazy dog. →

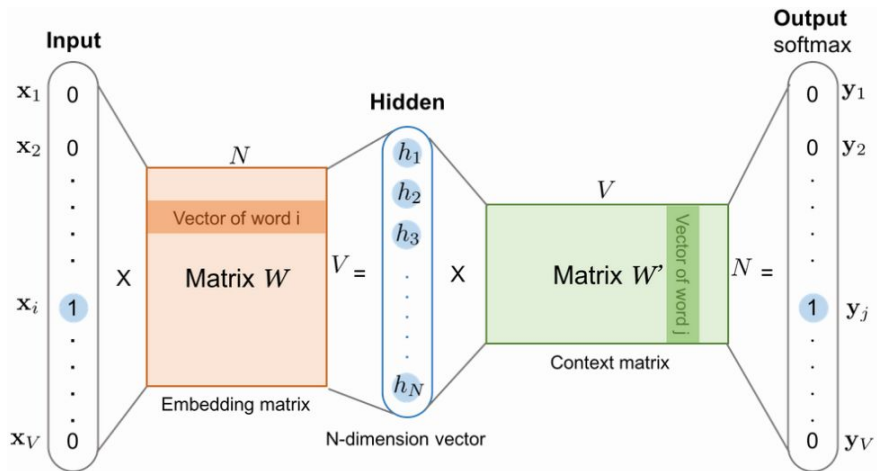
Training Samples

(the, quick)  
(the, brown)

(quick, the)  
(quick, brown)  
(quick, fox)

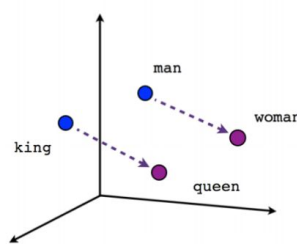
(brown, the)  
(brown, quick)  
(brown, fox)  
(brown, jumps)

(fox, quick)  
(fox, brown)  
(fox, jumps)  
(fox, over)

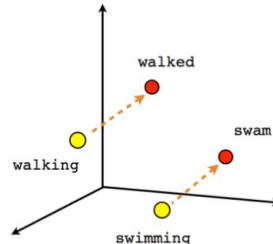


$$p(w_O | w_I) = \frac{\exp(v'_{w_O} \top v_{w_I})}{\sum_{i=1}^V \exp(v'_{w_i} \top v_{w_I})}$$

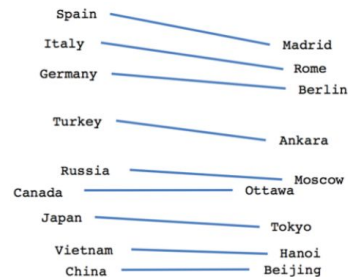
**word2vec** выучивает векторные представления слов, полезные в прикладных задачах. Вектора показывают интересные семантические свойства



Male-Female



Verb tense

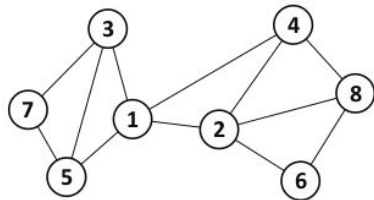


Country-Capital

## 2. Случайные блуждания (random walks)

### 1) Deepwalk (KDD, 2014)

Суть: случайные блуждания по графу + word2vec



(1) Random walk

Corpus

#seq.	traveling path
seq.1	1,3,7,3,5,7,5,1
seq.2	4,8,4,2,8,4,1,4
seq.3	5,7,5,1,5,1,2,1
seq.4	8,6,2,6,2,6,8,6
...	...
seq.32	1,3,1,5,7,5,1,5

(2) Sliding window

Training set

target	context
3	1, 7
7	3
3	7, 5
5	3, 7
7	5
...	...

$$\frac{1}{|V|} \sum_{i=1}^{|V|} \sum_{-c \leq j \leq c} \log p(v_{i+j} | Y_i) \rightarrow \max$$

$$p(v_{i+j} | Y_i) = \frac{\exp(Y_{i+j}^T Y_i)}{\sum_{k=1}^{|V|} \exp(Y_k^T Y_i)}$$

Проблема: софтмакс требует  $O(|V|)$  операций, на практике используют аппроксимации:

- Иерархический софтмакс (работает за  $O(\log |V|)$ )
- **Негативное сэмплирование** (контрастное оценивание, Noise-contrastive estimation) – метод оценки параметров

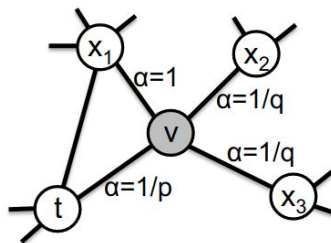
статистической модели  $p_d(\cdot) = p_m(\cdot, \alpha^*)$   $Z(\alpha) = \int p_m^0(u, \alpha) du$

Суть: заменить интеграл на новый параметр модели и свести задачу к разделению настоящего и шумового распределений (в данном случае ребра графа vs случайные ребра)

## 2. Случайные блуждания (random walks)

### 2) **node2vec** (KDD, 2016)

более гибкая версия deerwalk за счет параметризации блужданий

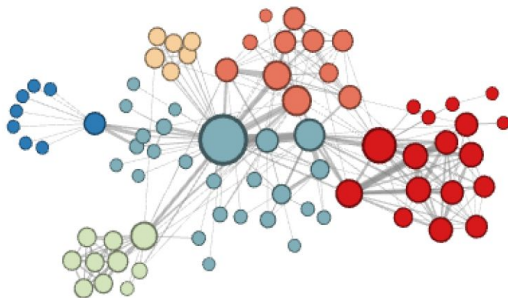


$$\alpha_{pq}(t, x) = \begin{cases} \frac{1}{p} & d_{tx} = 0 \\ 1 & d_{tx} = 1 \\ \frac{1}{q} & d_{tx} = 2 \end{cases}$$

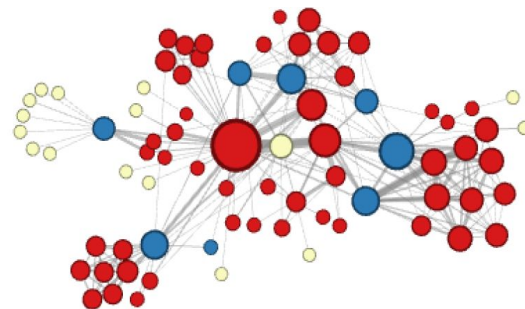
$p \ll 1$  – локальные блуждания (типа BFS)

$q \ll 1$  – исследование в глубину (типа DFS)

Эксперимент:  
граф связей персонажей романа “Отверженные”;  
эмбединги кластеризованы



$p=1, q=0.5$   
гомофилия, структура сообществ



$p=1, q=2$   
структурные роли вершин

### 3. Максимизация вероятности восстановления ребер

**Идея:** Вероятностная модель, объясняющая появление ребер графа.

Параметры модели (они же представления вершин) задают вид распределения.

Обучение модели = максимизация вероятности наблюдаемых ребер графа.

#### 1) Bilinear Link Model (BLM) (2015)

$$\theta = \{In_u, Out_u\}_{u \in V} \quad p(v|u, \theta) = \frac{\exp(In_u^T Out_v)}{\sum_{\omega \in V} \exp(In_u^T Out_\omega)}$$

$$J(\theta) = \sum_{i=1}^{|E|} \log p(u_i, v_i | \theta) = \sum_{i=1}^{|E|} \log p(v_i | u_i, \theta) + \sum_{i=1}^{|E|} \log p(u_i) \rightarrow \max_{p(u), \theta}$$

Сложность обучения градиентным спуском  $O(|E| |V| d)$ , для ускорения используется контрастное оценивание

$$Z_u = \ln \sum_{\omega \in V} \exp(In_u^T Out_\omega) \quad \text{оценка параметров сводится к задаче классификации ребер:}$$

$$J_{NCE}(\alpha) = \frac{1}{|E|} \left( \sum_{i=1}^{|E|} L_m(u_i, v_i, \alpha) + \sum_{i=1}^{\nu|E|} L_n(\tilde{u}_i, \tilde{v}_i, \alpha) \right) \rightarrow \max_{\alpha} \quad \alpha = \{(In_u, Out_u)\}_{u \in V}, Z_u$$

$$L_m(u, v, \alpha) = \ln \frac{p_{NCE}(v_i | u_i, \alpha)}{p_{NCE}(v_i | u_i, \alpha) + \nu p_n(\tilde{v}_i)}$$

$$L_n(u, v, \alpha) = \ln \frac{\nu p_n(\tilde{v}_i)}{p_{NCE}(\tilde{v}_i | \tilde{u}_i, \alpha) + \nu p_n(\tilde{v}_i)}$$

$$p_{NCE}(v|u, \alpha) = \exp(In_u^T Out_v - Z_u)$$

итоговая сложность:  
 $O(|E|vd)$ ,  $v$  - число негативных сэмплов (шумовых ребер на 1 реальное ребро)

### 3. Максимизация вероятности восстановления ребер

#### 2) Large-scale information network embedding (LINE) (WWW, 2015)

Представление вершины состоит из 2 векторов:  $u_i$  (вершина сама по себе) и  $u'_i$  (в качестве контекста)

близость 1-го порядка = вес ребра

$$p_1(v_i, v_j) = \frac{1}{1 + \exp(-u_i^T u_j)} \quad \hat{p}_1(i, j) = \frac{\omega_{ij}}{\sum_{(i,j) \in E} \omega_{ij}} \quad O_1 = - \sum_{(i,j) \in E} \omega_{ij} \log p_1(v_i, v_j)$$

близость 2-го порядка = похожесть контекстов (соседей)

$$p_2(v_j|v_i) = \frac{\exp(u'_j{}^T u_i)}{\sum_{k=1}^{|V|} \exp(u'_k{}^T u_i)} \quad \hat{p}_2(v_j|v_i) = \frac{\omega_{ij}}{d_i}, d_i = \sum_{k \in N(i)} \omega_{ik} \quad O_2 = - \sum_{(i,j) \in E} \omega_{ij} \log p_2(v_j|v_i)$$

(минимизируется дивергенция Кульбака-Лейблера между модельным и наблюдаемым распределениями)

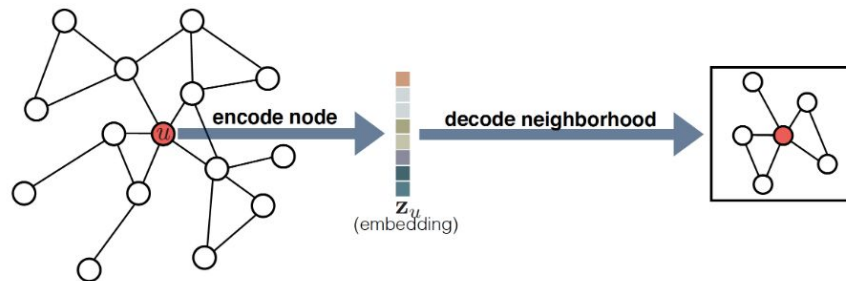
$O_2$  оптимизируется с помощью негативного сэмплирования

После независимой оптимизации  $O_1$  и  $O_2$  результаты представления конкатенируются

# Выводы о shallow embedding

Где же здесь нейросети?

Почти все, что мы рассмотрели, это **shallow embedding**, т.е. когда представление вершины зависит от ее ID



Недостатки shallow embedding методов:

1. Представления вершин как параметры модели не пересекаются. В результате:
  - число параметров растёт как  $O(|V|)$  – слишком много для больших графов;
  - наличие общих параметров – потенциально выше эффективность модели + регуляризация;
2. Не используется информация о вершинах (атрибуты);
3. Представления не обобщаются на новые вершины, которые не встречались во время обучения.

Далее рассмотрим:

- глубокие автокодировщики (решают 1 и 3)
- графовые нейросети (решают 1, 2 и 3)

## 4. Глубокие автокодировщики

Идея: входные данные отображаются в пространство малой размерности, затем восстанавливаются

$$\text{Decoder}(\text{Encoder}(X_i)) = \text{Decoder}(Y_i) \approx X_i$$

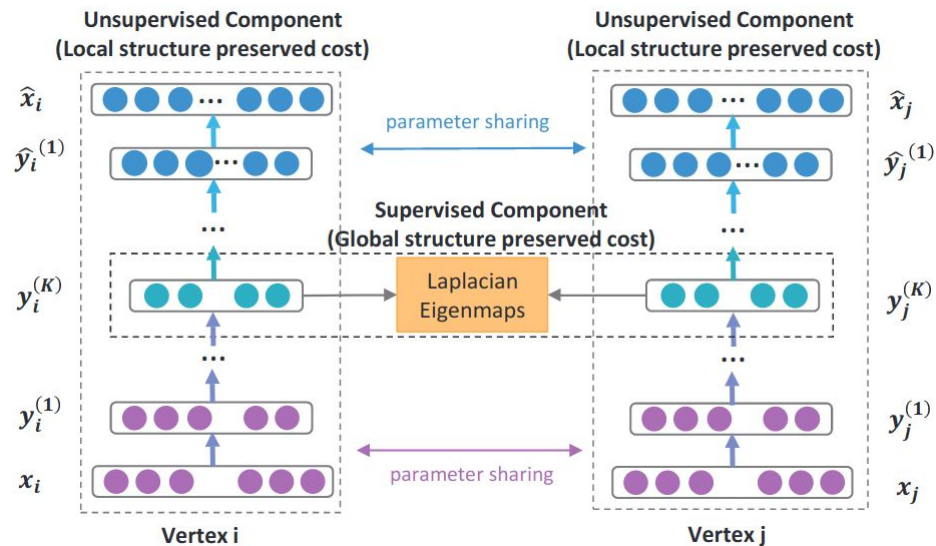
### 1) Structural Deep Network Embedding (SDNE) (KDD, 2016)

близость 2-го порядка: строки матрицы смежности  
восстанавливаются автокодировщиком

близость 1-го порядка: представления связанных вершин  
близки (см. *Laplacian eigenmaps*)

Устранены недостатки:

- есть общие параметры,
- можно вычислять представление для новых вершин



**Table 4: MAP on ARXIV-GRQC and BLOGCATALOG on reconstruction task**

Method	ARXIV-GRQC					BLOGCATALOG				
	<i>SDNE</i>	<i>GraRep</i>	<i>LINE</i>	<i>DeepWalk</i>	<i>LE</i>	<i>SDNE</i>	<i>GraRep</i>	<i>LINE</i>	<i>DeepWalk</i>	<i>LE</i>
MAP	<b>0.836**</b>	0.05	0.69	0.58	0.23	<b>0.63**</b>	0.42	0.58	0.28	0.12

Significantly outperforms GraRep at the: \*\* 0.01 level.

# 4. Глубокие автокодировщики

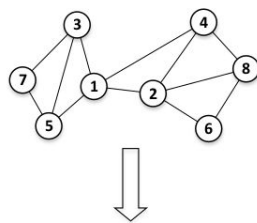
## 2) Deep Neural Networks for Learning Graph Representations (DNGR) (2016, AAAI)

Алгоритм состоит из 3 шагов:

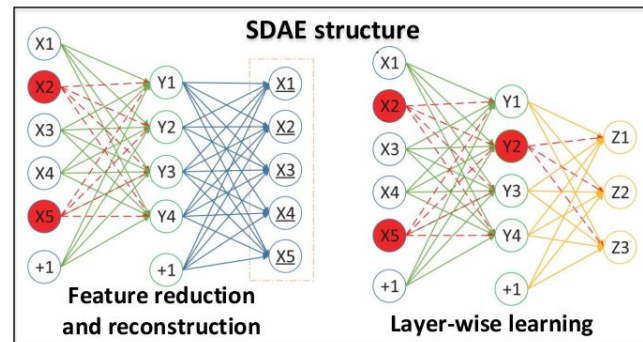
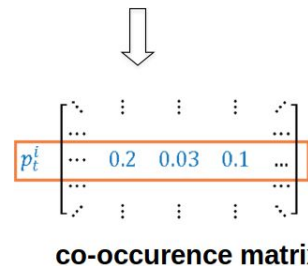
1. случайные блуждания → матрица встречаемости вершин
2. вычисление матрицы поточечной взаимной информации (сглаживает эффект часто встречающихся вершин)

$$PPMI_{v_1, v_2} = \max(\log\left(\frac{\text{count}(v_1, v_2) \cdot |D|}{\text{count}(v_1)\text{count}(v_2)}\right), 0)$$

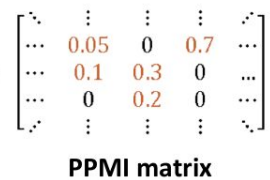
3. использование stacked denoising autoencoder для обучения нелинейных зависимостей  
(*stacked*: несколько автокодировщиков друг за другом  
*denoising*: произвольные элементы входа зануляются)



Random surfing



Calculation of PPMI



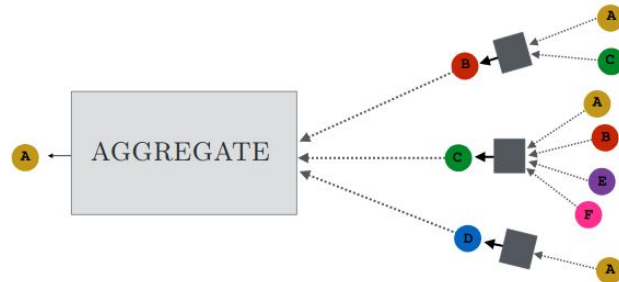
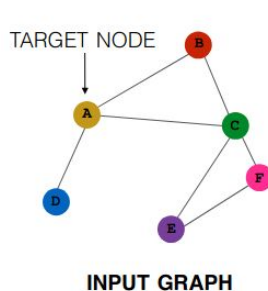
# 5. Графовые нейронные сети (GNN)

**Идея:** обучать представления на основе структуры и атрибутов вершин одновременно с помощью нейросети

$$\mathbf{h}_u^{(0)} = \mathbf{x}_u$$

$$\begin{aligned} \mathbf{h}_u^{(k+1)} &= \text{UPDATE}^{(k)} \left( \mathbf{h}_u^{(k)}, \text{AGGREGATE}^{(k)}(\{\mathbf{h}_v^{(k)}, \forall v \in \mathcal{N}(u)\}) \right) \\ &= \text{UPDATE}^{(k)} \left( \mathbf{h}_u^{(k)}, \mathbf{m}_{\mathcal{N}(u)}^{(k)} \right), \end{aligned}$$

$$\mathbf{z}_u = \mathbf{h}_u^{(K)}$$



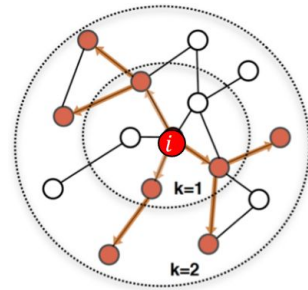
Обычно:

$$\mathbf{h}_u^{(k)} = \sigma \left( \mathbf{W}_{\text{self}}^{(k)} \mathbf{h}_u^{(k-1)} + \mathbf{W}_{\text{neigh}}^{(k)} \sum_{v \in \mathcal{N}(u)} \mathbf{h}_v^{(k-1)} + \mathbf{b}^{(k)} \right)$$

и другие вариации AGGREGATE и UPDATE

Особенности и отличия GNN от предыдущих методов:

- GNN как система распространения информации по графу; число слоев = глубина обхода
- GNN это совместное обучение структуры с признаками вершин
- GNN это обучение с учителем, под конкретную задачу
- размер модели GNN почти не зависит от размера графа (до 3 млрд вершин на 2019 год)

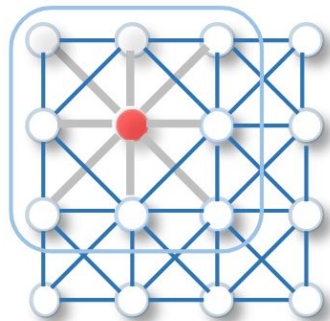


# 5. Графовые нейронные сети (GNN)

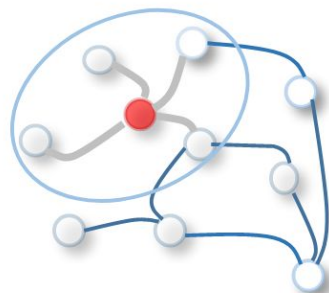
## 1) Graph Convolutional Networks (GCN) (ICLR, 2016)

симметрия (наравне с соседями) + нормализация (на степень)

$$\mathbf{h}_u^{(k)} = \sigma \left( \mathbf{W}^{(k)} \sum_{v \in \mathcal{N}(u) \cup \{u\}} \frac{\mathbf{h}_v}{\sqrt{|\mathcal{N}(u)| |\mathcal{N}(v)|}} \right)$$

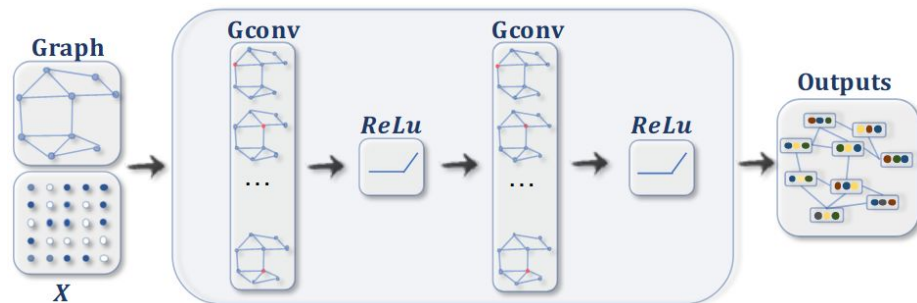


(a) 2D Convolution.

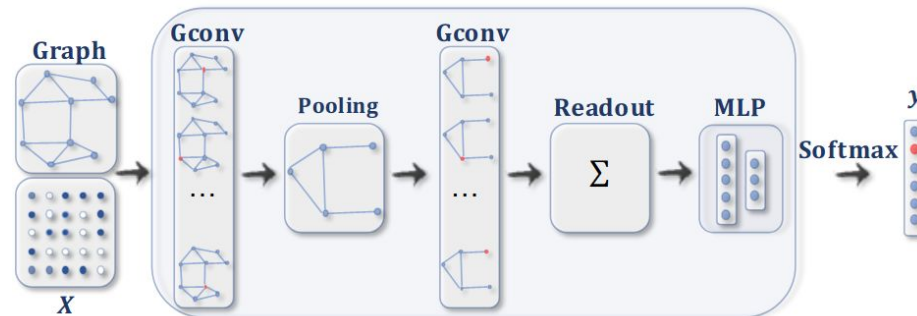


(b) Graph Convolution.

(а почему бы просто не обучать сверточную сеть на матрице смежности? зависимость от нумерации соседей)



Классификация вершин



Классификация графов  
добавляется *pooling* и *readout*

# 5. Графовые нейронные сети (GNN)

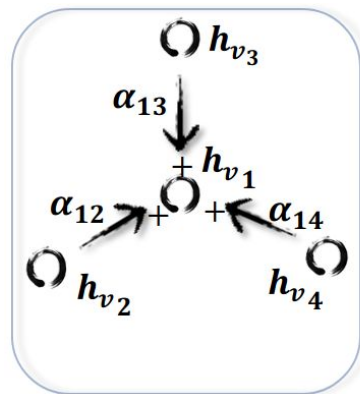
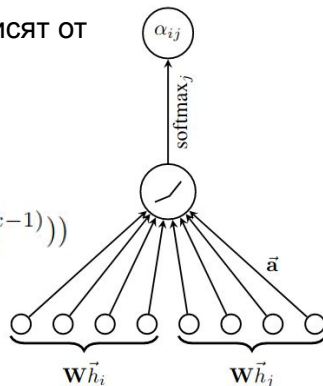
## 2) Graph Attention Network (GAT) (ICLR, 2017)

**Идея:** веса соседей при AGGREGATE зависят от параметров модели  $\mathbf{a}$

$$\mathbf{h}_v^{(k)} = \sigma \left( \sum_{u \in \mathcal{N}(v) \cup v} \alpha_{vu}^{(k)} \mathbf{W}^{(k)} \mathbf{h}_u^{(k-1)} \right),$$

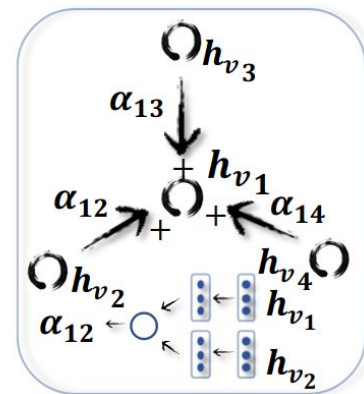
$$\alpha_{vu}^{(k)} = \text{softmax} \left( g \left( \mathbf{a}^T \left[ \mathbf{W}^{(k)} \mathbf{h}_v^{(k-1)} \parallel \mathbf{W}^{(k)} \mathbf{h}_u^{(k-1)} \right] \right) \right)$$

в качестве  $g(\cdot)$  – LeakyReLU



GCN: веса фиксированные

$$\alpha_{ij} = \frac{1}{\sqrt{\text{deg}(v_i) \text{deg}(v_j)}}$$



GAT: веса обучаются;  
важные вершины  
получают больший вес

Механизм *attention* значительно увеличивает выразительную мощность сети и качество классификации вершин

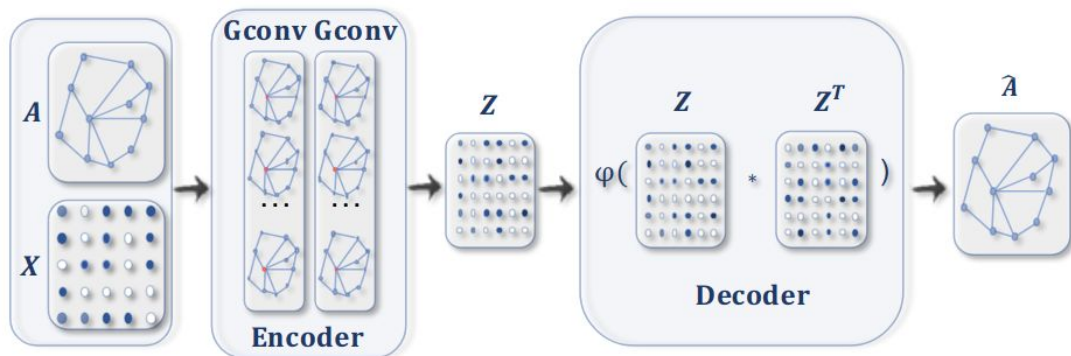
# 5. Графовые нейронные сети (GNN)

## 3) Graph autoencoders (GAE) (с 2016го)

**Идея:** автокодировщик для графа, с учетом еще и атрибутов вершин

энкодер (2 сверточных слоя GCN)  
вычисляет представления вершин

декодер считает попарные произведения  
и реконструирует матрицу смежности

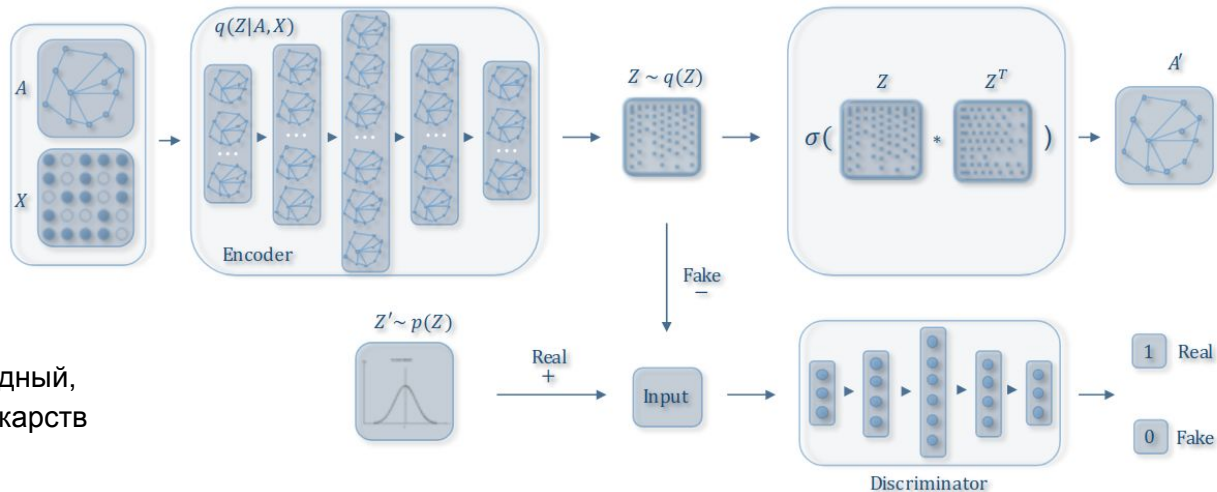


Решает задачу предсказания ребра

## 4) Adversarially Regularized Graph Autoencoder (ARGA) (2018)

Обучает представления для графа  
в стиле генеративно-сопоставительной сети

Генерирует новые графы, похожие на исходный,  
что полезно для поиска новых молекул лекарств



## Полезные ссылки

- Книга 2020 года “Graph Representation Learning” [https://www.cs.mcgill.ca/~wlh/grl\\_book/files/GRL\\_Book.pdf](https://www.cs.mcgill.ca/~wlh/grl_book/files/GRL_Book.pdf)
- Детальный разбор процесса обучения word2vec <https://arxiv.org/pdf/1411.2738.pdf>
- Оригинальная статья про Noise contrastive estimation <http://proceedings.mlr.press/v9/gutmann10a/gutmann10a.pdf>
- DGL – библиотека, где реализованы многие графовые нейросети <https://www.dgl.ai/pages/about.html>